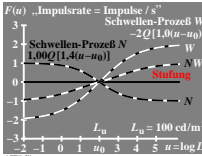


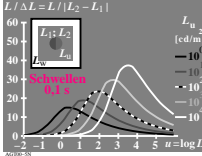
http://farbe.li.tu-berlin.de/AGTO/AGT0L0N1.TXT/PS; nur Vektorgrafik VG; Start-Ausgabe
N: Keine 3D-Linearisierung (OL) in Datei (F) oder PS-Startup (S)

Weber-Fechner-Gesetz in CIE 230-2019 für Schwellen-Farbdifferenzen von Körperfarben
Die Weber-Fechner-Helligkeit L^* ist eine logarhythmische Funktion von L . Die Stufen-Grenze-Helligkeit L_{St} ist eine Potenzfunktion von L : $L_{\text{St}} = L^{1/0,75}$.
Die Weber-Fechner-Gesetze ist äquivalent zur Gleichung: $M_2 = -L_u$.
Integration führt zur logarithmischen Gleichung: $L^* = \log(L_u)$.
Für Farben im Bereich der Normkennkurve 25:1-30:5,6
Tabelle 1: Normwertwert Y, Leuchtdichte L und Helligkeiten L*
Farbe Normwert Y Bunt-Weiß-Schwellenrelative Leuchtdichte relative Leuchtdichte relative Helligkeit
(Konstant) 25:1-30:5,6 100 100 100 100
Kastanienrot 18 28,2 0 100 0,46 log(18)
Papier 18 28,2 0 100 0,46 log(18)
Kastanienrot 18 28,2 1 100 0,46 log(18)
Schwarze N 0,6 5,6 0,2 18 0,46 log(0,6)
Papier 18 28,2 0,5 18 0,46 log(0,5)
Im Helligkeitsbereich zwischen $L^* = -40$ und 40 ist die Konstante $J = 40 \log(5) = 15$

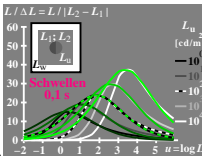
AGTO-UN



AGTO-UN



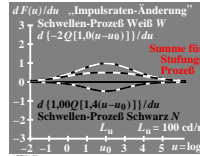
AGTO-UN



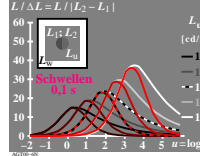
AGTO-UN

Weber-Fechner-Gesetz in CIE 230-2019 für Schwellen-Farbdiifferenzen von Körperfarben und zwei Bereiche 0,2 < $L_u < 1$ und $1 < L_u$.
Die Stufen-Grenze-Helligkeit L_{St} ist eine Potenzfunktion von L : $L_{\text{St}} = L^{1/0,75}$.
Die Weber-Fechner-Gesetze ist äquivalent zur Gleichung: $M_2 = -L_u$.
Integration führt zur logarithmischen Gleichung: $L^* = \log(L_u)$.
Für Farben im Bereich der Normkennkurve 25:1-30:5,6
Tabelle 1: Normwertwert Y, Leuchtdichte L und Helligkeiten L*
Farbe Normwert Y Bunt-Weiß-Schwellenrelative Leuchtdichte relative Leuchtdichte relative Helligkeit
(Konstant) 25:1-30:5,6 100 100 100 100
Kastanienrot 18 28,2 0 100 0,46 log(18)
Papier 18 28,2 0 100 0,46 log(18)
Kastanienrot 18 28,2 1 100 0,46 log(18)
Schwarze N 0,6 5,6 0,2 18 0,46 log(0,6)
Papier 18 28,2 0,5 18 0,46 log(0,5)
Im Helligkeitsbereich zwischen $L^* = -40$ und 40 ist die Konstante $J = 40 \log(5) = 15$

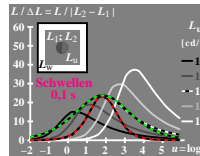
AGTO-UN



AGTO-UN



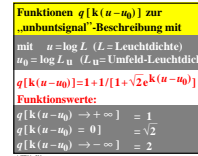
AGTO-UN



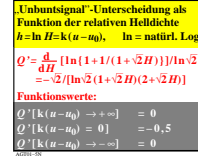
AGTO-UN

Linien-Element von **Stiles** (1946) mit „Farbwerten“ L_P, M_D, S_T
Drei separate Farb-Signalfunktionen
 $F(L_P) = i \ln(1 + 9 L_P)$
 $F(M_D) = j \ln(1 + 9 M_D)$
 $F(S_T) = k \ln(1 + 9 S_T)$
Taylor-Ableitungen:
 $\Delta F(L_P, M_D, S_T) = \frac{\partial F}{\partial L_P} \Delta L_P + \frac{\partial F}{\partial M_D} \Delta M_D + \frac{\partial F}{\partial S_T} \Delta S_T$
 $= \frac{9i}{1+9L_P} \Delta L_P + \frac{9j}{1+9M_D} \Delta M_D + \frac{9k}{1+9S_T} \Delta S_T$

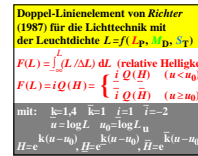
AGTO-UN



AGTO-UN



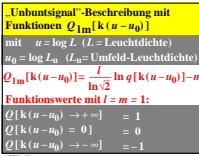
AGTO-UN



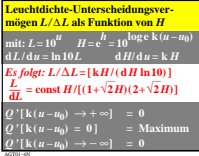
AGTO-UN

Linien-Element von **Vos & Walraven** (1972) mit „Farbwerten“ L_P, M_D, S_T
Drei separate Farb-Signalfunktionen
 $F(L_P) = -2i \sqrt{L_P}$
 $F(M_D) = -2j \sqrt{M_D}$
 $F(S_T) = -2k \sqrt{S_T}$
Taylor-Ableitungen:
 $\Delta F(L_P, M_D, S_T) = \frac{\partial F}{\partial L_P} \Delta L_P + \frac{\partial F}{\partial M_D} \Delta M_D + \frac{\partial F}{\partial S_T} \Delta S_T$
 $= \frac{i}{\sqrt{L_P}} \Delta L_P + \frac{j}{\sqrt{M_D}} \Delta M_D + \frac{k}{\sqrt{S_T}} \Delta S_T$

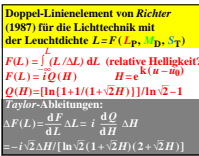
AGTO-UN



AGTO-UN



AGTO-UN



AGTO-UN